

УДК 004.056

А.И. Демидчук, Ю.А. Чернявский

АЛГОРИТМ ПОИСКА В ИЗОБРАЖЕНИЯХ СКРЫТЫХ ДАННЫХ, ВСТРОЕННЫХ МЕТОДОМ КОХА – ЖАО

Дается краткое описание метода стеганографического сокрытия данных Коха – Жао. Описывается алгоритм анализа изображений формата JPEG для установления факта скрытой передачи данных и приводятся результаты применения к тестовому набору изображений.

Введение

Цифровая стеганография объединяет методы скрытой передачи данных в объектах цифрового вида. Чаще всего в качестве так называемых стеганографических контейнеров используются цифровые данные, содержащие некоторую избыточность информации: изображения, аудио- и видеоданные, хотя также может использоваться обычный текст, файлы и т. д. [1]. При формировании цифровой подписи для объектов интеллектуальной собственности незначительный объем данных встраивается так, чтобы информация сохранялась при различных модификациях объекта. Методы стеганографии могут применяться и для скрытого копирования секретных данных, а также в средствах коммуникации преступных и террористических формирований.

Данная работа посвящена описанию критериев оценки JPEG-изображений на предмет наличия в них скрытой информации, внедренной методом Коха – Жао.

1. Метод встраивания Коха – Жао

Жао Цянь и Экхард Кох предложили выполнять встраивание скрываемого сообщения в процессе JPEG-сжатия [2, 3], как показано на рис. 1.

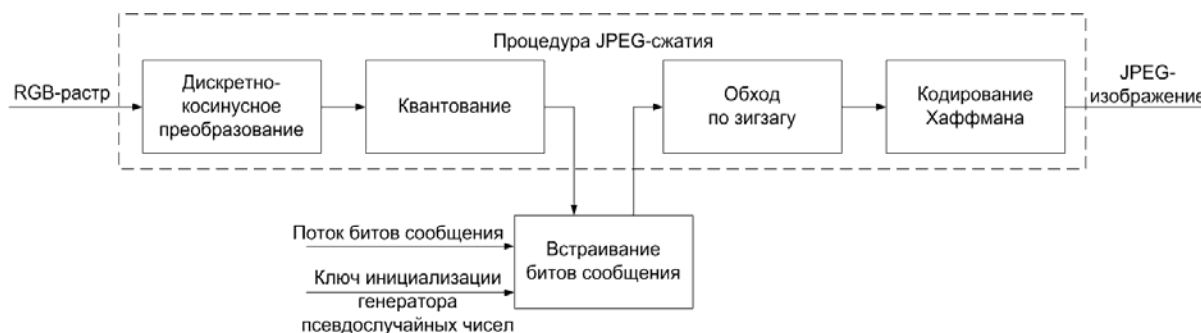


Рис. 1. Встраивание битов сообщения в процессе JPEG-сжатия изображения

На первом этапе выполняется базовая процедура сжатия изображения в JPEG, которая состоит из дискретно-косинусного преобразования (ДКП) блоков пикселей размерностью 8×8 и операции квантования. Затем в полученные блоки коэффициентов выполняется встраивание битов скрываемого сообщения и завершается процедура сжатия JPEG.

В методе Коха – Жао для встраивания используются квантованные коэффициенты ДКП, соответствующие области средних частот. Введем следующие обозначения: c_i – i -й бит встраиваемого сообщения, b – блок фрагмента изображения 8×8 пикселей, B – последовательность блоков b , выбранных псевдослучайным образом.

Алгоритм записи (встраивания) данных:

1. Если $i \geq n$, где n – количество битов сообщения, то выход.
2. Выбирается блок b с использованием генератора псевдослучайных чисел.
3. Если b находится в B , то переход к шагу 2; в противном случае добавляется b к B .

4. Вызывается функция $check_write(b, ci)$ для проверки блока на соответствие критериям допустимости встраивания: если функция возвращает FALSE (т. е. блок не удовлетворяет выдвинутым условиям), то переход к шагу 2.

5. Вызов функции $write(b, ci)$ для встраивания бита ci в блок b .

6. Увеличение i , переход к шагу 1.

Номера элементов блока b , которые соответствуют области средних частот и для которых вычисляются коэффициенты ДКП, представлены на рис. 2. Здесь k и l – индексы элементов блока b по вертикали и горизонтали соответственно, для которых измеряются коэффициенты ДКП. Эти индексы изменяются в диапазоне $[0, 7]$ для случаев сжатого изображения.

				l				
	0	1	2	3	4	5	6	7
0			2	3				
1		9	10	11				
2	16	17	18					
k 3								
4								
5								
6								
7								

Рис. 2. Область встраивания

Обозначим $m \in \{2, 3, 9, 10, 11, 16, 17, 18\}$ индекс коэффициента в области средних частот (выделена серым цветом на рис. 2), которая предложена для встраивания битов сообщения. Бит секретного сообщения встраивается путем модификации отношений трех квантованных коэффициентов в каждом подходящем блоке. Отношения между выбранными коэффициентами делятся на три группы (рис. 3), представляющие закодированные '0', '1' и недействительные комбинации.

(k_1, l_1)	(k_2, l_2)	(k_3, l_3)	
H	M	L	Представление '1'
M	H	L	
H	H	L	
M	L	H	Представление '0'
L	M	H	
L	L	H	
H	L	M	Недопустимое представление
L	H	M	
M	M	M	

Рис. 3. Кодирование отношений трех коэффициентов, выбранных псевдослучайно из области встраивания

Символы H , M , L обозначают соответственно большее, среднее и меньшее значения коэффициента.

Алгоритм проверки допустимости использования блока b для записи бита ci при реализации функции $check_write(b, ci)$:

1. С использованием заранее заданного ключа псевдослучайным образом выполняется выбор трех позиций элементов для блока b по ранее заданной таблице позиций. Они именуются m_1 , m_2 и m_3 .

2. К блоку b применяется ДКП и квантование с показателем качества сжатия Q . Параметрами $YQ(m_1)$, $YQ(m_2)$, $YQ(m_3)$ обозначим квантованные коэффициенты в указанных позициях.

3. При встраивании бита $ci = 1$ проверяем условие: если $\min(|YQ(m_1)|, |YQ(m_2)|) + D < |YQ(m_3)|$ (где $|YQ(m_u)|$ – абсолютное значение коэффициента $YQ(m_u)$ при $u \in 1..3$, \min –

минимальное значение из двух величин, D – пороговое значение разности между выбранными коэффициентами), то блок b помечается как недопустимый:

– блок b модифицируется в соответствии со значениями для недопустимых комбинаций (рис. 3);

– выполняется операция, обратная квантованию, и обратное ДКП;

– возвращается значение FALSE.

4. При встраивании бита $ci = 0$ проверяем условие: если $\text{MAX}(|YQ(m_1)|, |YQ(m_2)|) > |YQ(m_3)| + D$ (где MAX – максимальная величина из двух значений), то блок b помечается как недопустимый:

– блок b модифицируется в соответствии со значениями для недопустимых комбинаций (рис. 3);

– выполняется операция, обратная квантованию, и обратное ДКП;

– возвращается значение FALSE.

5. В противном случае возвращается TRUE.

2. Метод анализа

Данный метод основан на расчете среднеквадратичного отклонения (СКО) блока ДКП коэффициентов и анализе гистограммы распределения коэффициентов СКО для блоков изображения.

Анализ изображения можно разделить на следующие этапы:

– получение квантованных коэффициентов ДКП;

– проверка случая встраивания с пороговым значением $D > 1$;

– проверка случая встраивания с пороговым значением $D = 1$.

3. Получение квантованных коэффициентов ДКП

На первом этапе анализа изображение Im декодируется по алгоритму JPEG и формируется множество квантованных коэффициентов для каждого из компонентов $Im(Col)$ блоков изображения $b_{8 \times 8}$, где $Col \in \{Y, Cb, Cr\}$ – компонент цвета или яркости. Далее из каждого блока множества $B_{8 \times 8}$ выбирается по восемь коэффициентов и формируется множество блоков $B_8 = B_{8 \times 8}(m)$ при $m \in \{2, 3, 9, 10, 11, 16, 17, 18\}$ (см. рис. 2), в которые согласно описанию метода допустимо встраивание бита информации [2, 3].

4. Проверка случая встраивания с пороговым значением $D > 1$

К каждому блоку b_8 из множества B_8 применяется операция вычисления СКО:

$$s = \sqrt{\frac{1}{z-1} \sum_{j=1}^z (x_j - \bar{x})^2}, \quad (1)$$

где $z = 8$ – количество выбранных согласно алгоритму встраивания коэффициентов ДКП; x_j – j -й коэффициент; \bar{x} – среднее значение коэффициента в анализируемой группе.

Для всех блоков B_8 целого изображения вычисляются СКО и формируется массив коэффициентов среднеквадратичных отклонений S . Затем на основе полученного множества коэффициентов определяются гистограммы распределения среднеквадратичных отклонений для коэффициентов больше нуля $H_{STD}(S)$, $S > 0$. В случае учета нулевых коэффициентов максимум гистограммы будет располагаться в точке 0, так как в рассматриваемых позициях многих блоков ДКП располагаются нулевые значения коэффициентов. Такие блоки согласно алгоритму не участвуют во встраивании битов сообщения.

На рис. 4 приведены примеры гистограмм распределения коэффициентов СКО для пустых изображений и изображений, содержащих скрытую информацию (стегеоизображений), при встраивании сообщения по методу Коха – Жао с порогом $D \in \{1, 2, 3\}$.

Далее по гистограмме находится максимум, т. е. находится значение СКО, которое чаще всего встречается:

$$s_{max} = \arg \max_s [H_{STD}(s)]. \quad (2)$$

Максимальное значение СКО сравнивается с пороговым значением ς :

$$s_{max} \leq \varsigma \Rightarrow Im(Col) \notin \{STEGO\};$$

$$s_{max} > \varsigma \Rightarrow Im(Col) \in \{STEGO\}.$$

Если $s_{max} > \varsigma$, то анализируемый компонент изображения содержит скрытую информацию, в противном случае это обычное изображение.

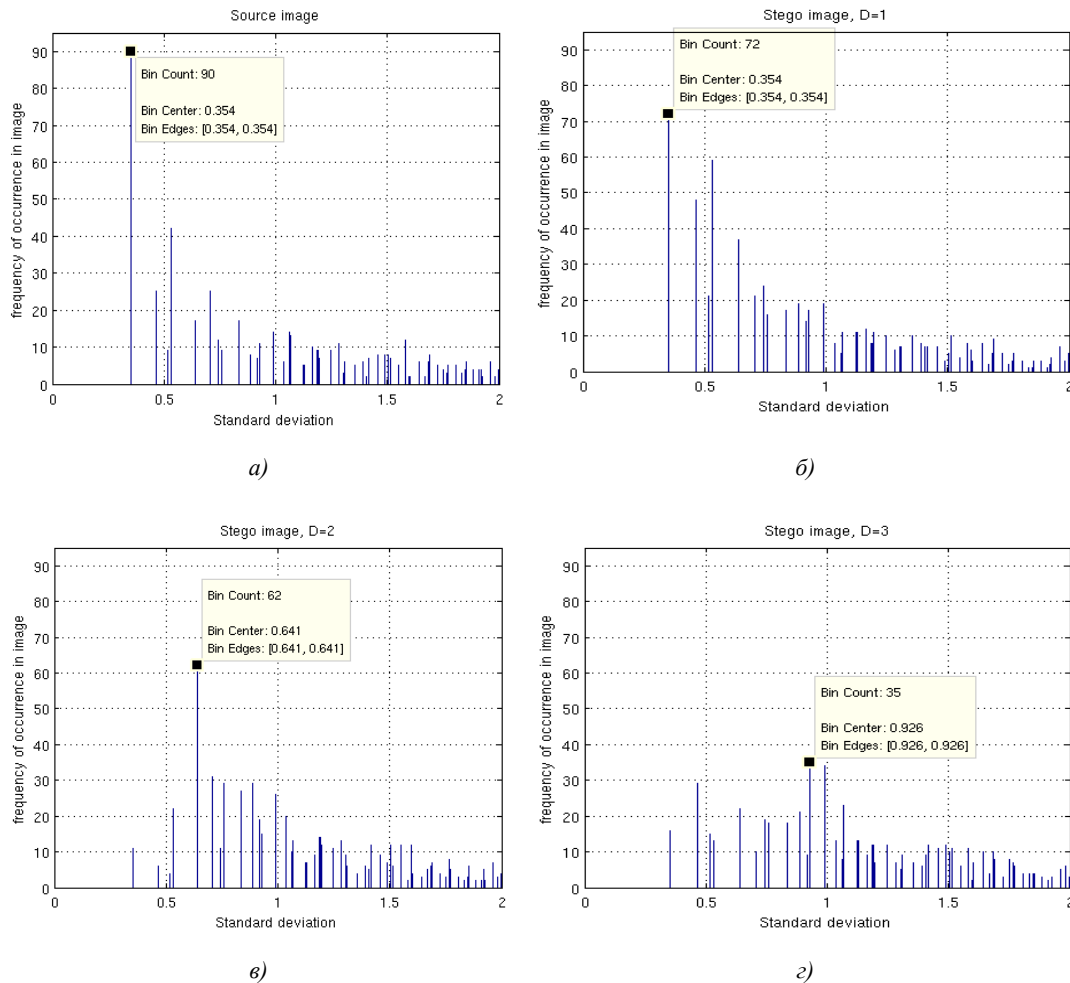


Рис. 4. Гистограммы распределения коэффициентов СКО:
а) исходное изображение; б) контейнер заполнен с порогом $D = 1$;
в) контейнер заполнен с порогом $D = 2$; г) контейнер заполнен с порогом $D = 3$

В результате экспериментальных исследований, проведенных более чем для 400 изображений при различных пороговых значениях D и с разной плотностью заполнения контейнера, определено оптимальное пороговое значение $\varsigma = 0,354$.

При проведении предварительного тестирования разработанного метода на тестовом множестве получено 100 % правильных результатов анализа стегоизображений, содержащих сообщения, встроены с пороговым значением $D \geq 2$ (ошибка второго рода равна 0); для $D = 1$

эта оценка принимает значение порядка 90–95 %, а для пустых изображений количество ложных срабатываний составляет 5,4 %.

Предварительный анализ полученных результатов (табл. 1) выявил необходимость введения дополнительного ограничивающего условия для более точной оценки возможного встраивания с порогом $D = 1$.

Таблица 1
Результаты оценки ошибок первого и второго рода, %

Величина порога D	Этап 1
$D = 0$ (пустой контейнер)	$e1 = 5,4$
$D = 1$	$e2 = 99$
$D = 2$	$e2 = 0$
$D = 3$	$e2 = 0$

Примечание: $e1$ – ошибка первого рода, т. е. оценка отношения ложных срабатываний на пустые изображения к общему числу пустых изображений; $e2$ – ошибка второго рода, т. е. оценка отношения пропущенных стегоизображений как пустых контейнеров к общему числу поданных на анализ стегоизображений.

5. Повышение эффективности анализа. Случай встраивания с пороговым значением $D = 1$

После анализа гистограмм на (см. рис. 4) было предложено применить ко всему анализируемому множеству изображений $I_{D=1}$ при пороге $D = 1$ и пустых изображений I_0 следующую оценку:

$$P_{Hmax} = \frac{N_{Smax}}{N} \times 100 \%, \quad (3)$$

где $N_{Smax} = \max[H_{STD}(s)]$ – максимум гистограммы распределения коэффициентов СКО; N – общее количество коэффициентов СКО, которое равно количеству блоков изображения $B_{8 \times 8}$, переданных на анализ. Эта оценка показывает долю наиболее встречающихся коэффициентов СКО в общем количестве коэффициентов.

Из рис. 5 видно, что для заполненных контейнеров существует пороговое значение $R = 35$. При превышении этого значения можно утверждать, что изображение содержит скрытую информацию.

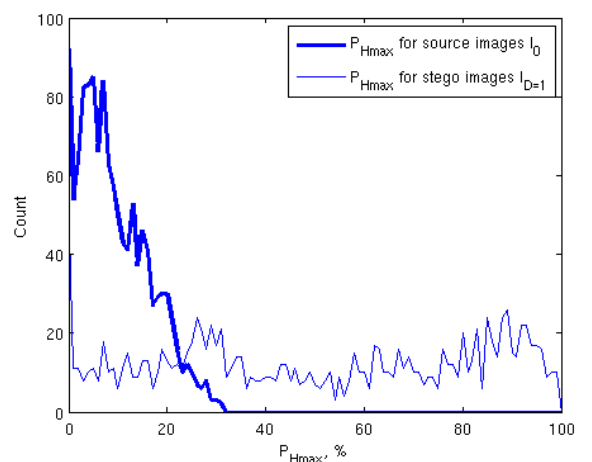


Рис. 5. Гистограммы распределения значений P_{Hmax} для множеств I_0 и $I_{D=1}$

Для минимизации влияния статистических колебаний, имеющихся в исследуемой выборке изображений, к полученным значениям функций распределения P_{Hmax} в диапазоне $[0, 35]$ была применена операция нахождения аппроксимирующего полинома десятой степени методом наименьших квадратов (рис. 6).

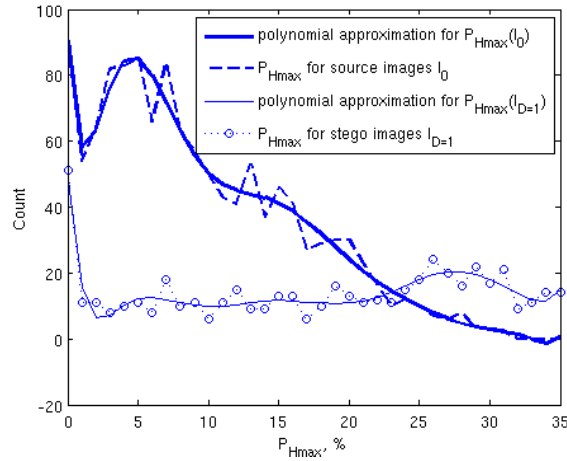


Рис. 6. Аппроксимированная часть гистограммы в диапазоне $[0, 35]$

При условии, что отношение P_{Hmax} находится в диапазоне $[0, R]$, изображение содержит скрытую информацию с вероятностью, которая определяется отношением количества $\text{Count}(P_{Hmax, D=1})$ стегоконтейнеров из тестового набора изображений с $D = 1$ к общему числу изображений с данным значением P_{Hmax} :

$$P_s = \frac{\text{Count}(P_{Hmax, D=1})}{\text{Count}(P_{Hmax, D=1}) + \text{Count}(P_{Hmax, 0})}. \quad (4)$$

Применяя формулу (4) к статистическим данным (см. рис. 6), для исследуемого изображения строится график зависимости вероятности появления скрытой информации от параметра P_{Hmax} (рис. 7).

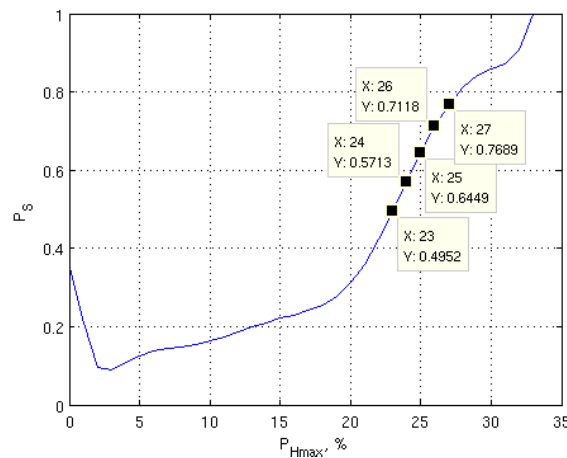


Рис. 7. График зависимости вероятности появления скрытой информации в изображении от значения P_{Hmax}

График на рис. 7 позволяет сделать следующий вывод. Изображение с вероятностью $P_s = 0,65$ содержит скрытое сообщение, если $P_{Hmax} = 25\%$. Чем выше величина P_{Hmax} , тем выше вероятность того, что в изображение была встроена информация.

6. Результаты

В качестве тестового набора были использованы 418 изображений с различным разрешением от 384×288 до 3089×2084 (набор I_0). Для формирования множества контейнеров, содержащих скрытые изображения, к каждому изображению применялась процедура встраивания информации методом Коха – Жао последовательности данных, полученных с генератора псевдослучайных чисел. Встраивание производилось отдельно в каждый компонент цветовой схемы. Контейнеры заполнялись на 100 % при пороговых значениях $D = 1, 2, 3$. Каждое из множеств состояло из 418 изображений. Эффективность различных методов стегоанализа оценивалась определением ошибок первого рода $e1$ и второго рода $e2$.

Для сравнения в табл. 2 приведены результаты оценки встраивания информации на тестовых наборах изображений методами стегоанализов OutGuess и JPHide, входящих в состав программы Stegetect [4], которые также применяются для оценки JPEG-изображений. В состав Stegdetect входят методы оценки встраивания информации JSteg, Invisible Secrets и F5. Однако результаты анализа тестовых наборов изображений для этих методов в таблицу не включены, так как их применение не выявило ни одного встраивания.

Таблица 2
Результаты сравнения эффективности анализа стегоконтейнеров, %

Порог встраивания	OutGuess	JPHide	Анализ Коха – Жао
$D = 0$	$e1 = 0,2$	$e1 = 2,2$	$e1 = 5,4$
$D = 1$	$e2 = 99,5$	$e2 = 97,8$	$e2 = 15,6$
$D = 2$	$e2 = 100$	$e2 = 94,5$	$e2 = 0$
$D = 3$	$e2 = 100$	$e2 = 94,5$	$e2 = 0$

Заключение

Предложенный критерий оценки изображений для выявления наличия встроеной информации методом Коха – Жао в JPEG-изображения дает высокий показатель (порядка 90 %) верных результатов в том случае, если встраивание выполнялось с порогом более единицы. Оценка с порогом встраивания $D = 1$ дает результат с большей ошибкой второго рода. Для пустых контейнеров ошибка первого рода примерно равна 20 %.

Таким образом, использование предложенных критериев оценки изображения в формате JPEG на предмет определения наличия скрытой информации методом Коха – Жао при определенных условиях обеспечивает эффективное решение задач стегоанализа. По сравнению с существующими методами, ориентированными на другие алгоритмы встраивания, значительно повышается достоверность анализа.

Дальнейшее повышение показателя достоверности анализа также может быть достигнуто путем выполнения автоматической классификации изображений по плотности контрастных переходов с использованием для каждого из них отдельного порогового значения.

Список литературы

1. Грибунин, В.Г. Цифровая стеганография / В.Г. Грибунин, И.Н. Оков, И.В. Туринцев. – М. : СОЛОН-Пресс, 2002. – 272 с.
2. Zhao, J. Embedding Robust Labels into Images for Copyright Protection / J. Zhao, E. Koch // Proc. of the Int. Congress on Intellectual Property Rights for Specialized Information, Knowledge and New Technologies. – Munich, Vienna, 1995. – P. 242–251.

3. Zhao, J. Towards Robust and Hidden Image Copyright Labeling / J. Zhao, E. Koch // IEEE Workshop on Nonlinear Signal and Image Processing. – Greece, 1995. – P. 123–132.

4. OutGuess [Electronic resource]. – Mode of access : <http://www.outguess.org>. – Date of access : 11.12.10.

Поступила 10.11.11

*Белорусский государственный университет
информатики и радиоэлектроники,
Минск, П. Бровки, 6
e-mail: demidchuk.aleksey@gmail.com,
chernyavskiy@pacademy.edu.by*

A.I. Demidchuk, Y.A. Chernyavskiy

**AN ALGORITHM FOR DETECTING IMAGES WITH HIDDEN DATA
EMBEDDED WITH KOCH – ZHAO STEGANOGRAPHIC METHOD**

This paper provides a brief description of the steganographic data hiding technique suggested by Koch – Zhao. It describes the algorithm of analysis of images in JPEG format to establish the fact of hidden communication and the results of application to a test set of images. The result allows to recommend this method for primary selection of files for subsequent detailed analysis.